

<sup>160</sup>Gd(<sup>14</sup>N,4n $\gamma$ ) **1997Ka30**

Type	Author	History	Citation	Literature Cutoff Date
Full Evaluation	C. M. Baglin <sup>1</sup> , E. A. Mccutchan <sup>2</sup> , S. Basunia <sup>1</sup>		NDS 153, 1 (2018)	1-Oct-2018

E(<sup>14</sup>N)=68 MeV; isotopically enriched target, detector array (9 Compton-suppressed HPGe detectors with 14-element BGO multiplicity filter),  $\theta=45^\circ, 99^\circ, 153^\circ$ ; measured E $\gamma$ , I $\gamma$ ,  $\gamma\gamma$  coin, DCO ratios ( $\theta=153^\circ, 99^\circ$ ).

The band structure indicated here is that of **1997Ka30**. It differs in several respects from that in Adopted Levels, Gammas, but is shown here for completeness. See comments on individual bands.

<sup>170</sup>Lu Levels

E(level) <sup>†</sup>	J $\pi$ <sup>‡</sup>	E(level) <sup>†</sup>	J $\pi$ <sup>‡</sup>	E(level) <sup>†</sup>	J $\pi$ <sup>‡</sup>	E(level) <sup>†</sup>	J $\pi$ <sup>‡</sup>
0.0+x <sup>@</sup>	5 <sup>-</sup>	633.2+y <sup>a</sup>	8 <sup>-</sup>	1965.6+x <sup>#</sup>	16 <sup>-</sup>	3967.8+y <sup>b</sup>	19 <sup>-</sup>
0.0+y <sup>a</sup>	4 <sup>-</sup>	753.2+x <sup>@</sup>	11 <sup>-</sup>	2170.3+z <sup>&amp;</sup>	17 <sup>+</sup>	4018.6+x <sup>#</sup>	22 <sup>-</sup>
0.0+z <sup>&amp;</sup>	3 <sup>+</sup>	823.5+z <sup>&amp;</sup>	11 <sup>+</sup>	2211.1+y <sup>a</sup>	14 <sup>-</sup>	4033.3+z <sup>&amp;</sup>	23 <sup>+</sup>
79.8+x <sup>#</sup>	6 <sup>-</sup>	846.9+y <sup>b</sup>	9 <sup>-</sup>	2222.6+x <sup>@</sup>	17 <sup>-</sup>	4353.1+y <sup>a</sup>	20 <sup>-</sup>
91.1+z <sup>&amp;</sup>	5 <sup>+</sup>	967.3+x <sup>#</sup>	12 <sup>-</sup>	2533.6+y <sup>b</sup>	15 <sup>-</sup>	4403.8+x? <sup>@</sup>	23 <sup>-</sup>
123.7+y <sup>b</sup>	5 <sup>-</sup>	1082.2+y <sup>a</sup>	10 <sup>-</sup>	2580.1+x <sup>#</sup>	18 <sup>-</sup>	4737.8+y? <sup>b</sup>	21 <sup>-</sup>
175.8+x <sup>@</sup>	7 <sup>-</sup>	1161.4+x <sup>@</sup>	13 <sup>-</sup>	2735.0+z <sup>&amp;</sup>	19 <sup>+</sup>	4769.0+z <sup>&amp;</sup>	25 <sup>+</sup>
259.5+z <sup>&amp;</sup>	7 <sup>+</sup>	1211.1+z <sup>&amp;</sup>	13 <sup>+</sup>	2873.7+x <sup>@</sup>	19 <sup>-</sup>	4830.6+x? <sup>#</sup>	24 <sup>-</sup>
270.9+y <sup>a</sup>	6 <sup>-</sup>	1335.9+y <sup>b</sup>	11 <sup>-</sup>	2876.2+y <sup>a</sup>	16 <sup>-</sup>	5141.1+y? <sup>a</sup>	22 <sup>-</sup>
295.5+x <sup>#</sup>	8 <sup>-</sup>	1426.6+x <sup>#</sup>	14 <sup>-</sup>	3226.3+y <sup>b</sup>	17 <sup>-</sup>	5557.2+z <sup>&amp;</sup>	27 <sup>+</sup>
425.5+x <sup>@</sup>	9 <sup>-</sup>	1611.0+y <sup>a</sup>	12 <sup>-</sup>	3266.1+x <sup>#</sup>	20 <sup>-</sup>	5992.1+y? <sup>a</sup>	24 <sup>-</sup>
440.7+y <sup>b</sup>	7 <sup>-</sup>	1651.1+x <sup>@</sup>	15 <sup>-</sup>	3355.5+z <sup>&amp;</sup>	21 <sup>+</sup>	6404.0+z <sup>&amp;</sup>	29 <sup>+</sup>
504.6+z <sup>&amp;</sup>	9 <sup>+</sup>	1661.5+z <sup>&amp;</sup>	15 <sup>+</sup>	3596.7+y <sup>a</sup>	18 <sup>-</sup>	7307.1+z <sup>&amp;</sup>	31 <sup>+</sup>
590.3+x <sup>#</sup>	10 <sup>-</sup>	1900.4+y <sup>b</sup>	13 <sup>-</sup>	3601.8+x <sup>@</sup>	21 <sup>-</sup>	8242.1+z? <sup>&amp;</sup>	33 <sup>+</sup>

<sup>†</sup> From least-squares fit to E $\gamma$ , giving equal weight to all E $\gamma$  data. From Adopted Levels, z=114.9 keV.

<sup>‡</sup> Authors' values, based on measured DCO ratios (no data stated by authors), spin versus level energy systematics in neighboring odd-A and odd-odd Lu isotopes, cranked shell model arguments.

<sup>#</sup> Band(A): ( $\pi$  h<sub>9/2</sub>) $\otimes$ ( $\nu$  i<sub>13/2</sub>),  $\alpha=0$ . Note that adopted J values are 1 unit higher than shown here.

<sup>@</sup> Band(a): ( $\pi$  h<sub>9/2</sub>) $\otimes$ ( $\nu$  i<sub>13/2</sub>),  $\alpha=1$ . Note that adopted J values are 1 unit higher than shown here.

<sup>&</sup> Band(B): ( $\pi$  h<sub>9/2</sub>) $\otimes$ ( $\nu$  p<sub>3/2</sub>),  $\alpha=1$ . Note that E $\gamma$  for transitions connecting the highest members of this band differ from adopted values by as much as 6.6 keV.

<sup>a</sup> Band(C): ( $\pi$  g<sub>7/2</sub>) $\otimes$ ( $\nu$  p<sub>3/2</sub>),  $\alpha=0$ . J $\pi$  assigned by **1997Ka30** based on available spin versus level energy systematics in neighboring odd-A and odd-odd Lu isotopes. However, adopted configuration is ( $\pi$  g<sub>7/2</sub>) $\otimes$ ( $\nu$  i<sub>13/2</sub>), with J $\pi=7^+$  bandhead (cf. J $\pi=4^-$  here). Also, the existence of the 788.0 $\gamma$  has not been confirmed in the subsequent (HI,xn $\gamma$ ) study by **1999Le45**, so it is omitted from Adopted Gammas.

<sup>b</sup> Band(c): ( $\pi$  g<sub>7/2</sub>) $\otimes$ ( $\nu$  p<sub>3/2</sub>),  $\alpha=1$ . J $\pi$  assigned by **1997Ka30** based on available spin versus level energy systematics in neighboring odd-A and odd-odd Lu isotopes. However, adopted configuration is ( $\pi$  g<sub>7/2</sub>) $\otimes$ ( $\nu$  i<sub>13/2</sub>), with J $\pi=7^+$  bandhead (cf. J $\pi=4^-$  here). Also, the placements of the 770.0 $\gamma$  and 851.0 $\gamma$  are not adopted since they differ in the subsequent (HI,xn $\gamma$ ) study by **1999Le45**.

$^{160}\text{Gd}(^{14}\text{N},4n\gamma)$  **1997Ka30** (continued) $\gamma(^{170}\text{Lu})$ 

$E_\gamma$ †	$E_i(\text{level})$	$J_i^\pi$	$E_f$	$J_f^\pi$	$E_\gamma$ †	$E_i(\text{level})$	$J_i^\pi$	$E_f$	$J_f^\pi$
79.8	79.8+x	6 <sup>-</sup>	0.0+x	5 <sup>-</sup>	387.6	1211.1+z	13 <sup>+</sup>	823.5+z	11 <sup>+</sup>
91.1	91.1+z	5 <sup>+</sup>	0.0+z	3 <sup>+</sup>	393.4	3266.1+x	20 <sup>-</sup>	2873.7+x	19 <sup>-</sup>
95.8	175.8+x	7 <sup>-</sup>	79.8+x	6 <sup>-</sup>	406.3	846.9+y	9 <sup>-</sup>	440.7+y	7 <sup>-</sup>
119.5	295.5+x	8 <sup>-</sup>	175.8+x	7 <sup>-</sup>	407.9	1161.4+x	13 <sup>-</sup>	753.2+x	11 <sup>-</sup>
123.4	123.7+y	5 <sup>-</sup>	0.0+y	4 <sup>-</sup>	448.8	1082.2+y	10 <sup>-</sup>	633.2+y	8 <sup>-</sup>
130.0	425.5+x	9 <sup>-</sup>	295.5+x	8 <sup>-</sup>	450.4	1661.5+z	15 <sup>+</sup>	1211.1+z	13 <sup>+</sup>
146.9	270.9+y	6 <sup>-</sup>	123.7+y	5 <sup>-</sup>	459.6	1426.6+x	14 <sup>-</sup>	967.3+x	12 <sup>-</sup>
162.8	753.2+x	11 <sup>-</sup>	590.3+x	10 <sup>-</sup>	489.5	1335.9+y	11 <sup>-</sup>	846.9+y	9 <sup>-</sup>
164.5	590.3+x	10 <sup>-</sup>	425.5+x	9 <sup>-</sup>	489.7	1651.1+x	15 <sup>-</sup>	1161.4+x	13 <sup>-</sup>
168.4	259.5+z	7 <sup>+</sup>	91.1+z	5 <sup>+</sup>	508.8	2170.3+z	17 <sup>+</sup>	1661.5+z	15 <sup>+</sup>
169.6	440.7+y	7 <sup>-</sup>	270.9+y	6 <sup>-</sup>	528.1	1611.0+y	12 <sup>-</sup>	1082.2+y	10 <sup>-</sup>
175.8	175.8+x	7 <sup>-</sup>	0.0+x	5 <sup>-</sup>	539.6	1965.6+x	16 <sup>-</sup>	1426.6+x	14 <sup>-</sup>
192.1	633.2+y	8 <sup>-</sup>	440.7+y	7 <sup>-</sup>	564.5	1900.4+y	13 <sup>-</sup>	1335.9+y	11 <sup>-</sup>
194.0	1161.4+x	13 <sup>-</sup>	967.3+x	12 <sup>-</sup>	564.7	2735.0+z	19 <sup>+</sup>	2170.3+z	17 <sup>+</sup>
213.8	846.9+y	9 <sup>-</sup>	633.2+y	8 <sup>-</sup>	570.8	2222.6+x	17 <sup>-</sup>	1651.1+x	15 <sup>-</sup>
214.3	967.3+x	12 <sup>-</sup>	753.2+x	11 <sup>-</sup>	600.1	2211.1+y	14 <sup>-</sup>	1611.0+y	12 <sup>-</sup>
216.0	295.5+x	8 <sup>-</sup>	79.8+x	6 <sup>-</sup>	614.5	2580.1+x	18 <sup>-</sup>	1965.6+x	16 <sup>-</sup>
224.0	1651.1+x	15 <sup>-</sup>	1426.6+x	14 <sup>-</sup>	620.5	3355.5+z	21 <sup>+</sup>	2735.0+z	19 <sup>+</sup>
234.9	1082.2+y	10 <sup>-</sup>	846.9+y	9 <sup>-</sup>	633.2	2533.6+y	15 <sup>-</sup>	1900.4+y	13 <sup>-</sup>
245.1	504.6+z	9 <sup>+</sup>	259.5+z	7 <sup>+</sup>	651.1	2873.7+x	19 <sup>-</sup>	2222.6+x	17 <sup>-</sup>
249.5	425.5+x	9 <sup>-</sup>	175.8+x	7 <sup>-</sup>	665.1	2876.2+y	16 <sup>-</sup>	2211.1+y	14 <sup>-</sup>
253.9	1335.9+y	11 <sup>-</sup>	1082.2+y	10 <sup>-</sup>	677.8	4033.3+z	23 <sup>+</sup>	3355.5+z	21 <sup>+</sup>
257.5	2222.6+x	17 <sup>-</sup>	1965.6+x	16 <sup>-</sup>	685.2	3266.1+x	20 <sup>-</sup>	2580.1+x	18 <sup>-</sup>
265.0	1426.6+x	14 <sup>-</sup>	1161.4+x	13 <sup>-</sup>	692.7	3226.3+y	17 <sup>-</sup>	2533.6+y	15 <sup>-</sup>
271.2	270.9+y	6 <sup>-</sup>	0.0+y	4 <sup>-</sup>	720.5	3596.7+y	18 <sup>-</sup>	2876.2+y	16 <sup>-</sup>
275.9	1611.0+y	12 <sup>-</sup>	1335.9+y	11 <sup>-</sup>	727.8	3601.8+x	21 <sup>-</sup>	2873.7+x	19 <sup>-</sup>
290.0 ‡	1900.4+y	13 <sup>-</sup>	1611.0+y	12 <sup>-</sup>	735.7	4769.0+z	25 <sup>+</sup>	4033.3+z	23 <sup>+</sup>
294.6	2873.7+x	19 <sup>-</sup>	2580.1+x	18 <sup>-</sup>	741.5	3967.8+y	19 <sup>-</sup>	3226.3+y	17 <sup>-</sup>
295.0	590.3+x	10 <sup>-</sup>	295.5+x	8 <sup>-</sup>	752.5	4018.6+x	22 <sup>-</sup>	3266.1+x	20 <sup>-</sup>
310.0 ‡	2211.1+y	14 <sup>-</sup>	1900.4+y	13 <sup>-</sup>	756.4	4353.1+y	20 <sup>-</sup>	3596.7+y	18 <sup>-</sup>
314.5	1965.6+x	16 <sup>-</sup>	1651.1+x	15 <sup>-</sup>	770.0 ‡	4737.8+y?	21 <sup>-</sup>	3967.8+y	19 <sup>-</sup>
317.0	440.7+y	7 <sup>-</sup>	123.7+y	5 <sup>-</sup>	788.0 ‡	5141.1+y?	22 <sup>-</sup>	4353.1+y	20 <sup>-</sup>
318.9	823.5+z	11 <sup>+</sup>	504.6+z	9 <sup>+</sup>	788.2	5557.2+z	27 <sup>+</sup>	4769.0+z	25 <sup>+</sup>
323.0 ‡	2533.6+y	15 <sup>-</sup>	2211.1+y	14 <sup>-</sup>	802.0 ‡	4403.8+x?	23 <sup>-</sup>	3601.8+x	21 <sup>-</sup>
327.8	753.2+x	11 <sup>-</sup>	425.5+x	9 <sup>-</sup>	812.0 ‡	4830.6+x?	24 <sup>-</sup>	4018.6+x	22 <sup>-</sup>
336.0	3601.8+x	21 <sup>-</sup>	3266.1+x	20 <sup>-</sup>	846.8	6404.0+z	29 <sup>+</sup>	5557.2+z	27 <sup>+</sup>
357.5	2580.1+x	18 <sup>-</sup>	2222.6+x	17 <sup>-</sup>	851.0 ‡	5992.1+y?	24 <sup>-</sup>	5141.1+y?	22 <sup>-</sup>
362.5	633.2+y	8 <sup>-</sup>	270.9+y	6 <sup>-</sup>	903.1	7307.1+z	31 <sup>+</sup>	6404.0+z	29 <sup>+</sup>
377.1	967.3+x	12 <sup>-</sup>	590.3+x	10 <sup>-</sup>	935.0 ‡	8242.1+z?	33 <sup>+</sup>	7307.1+z	31 <sup>+</sup>

† Uncertainties not stated by authors. Assignment to  $^{170}\text{Lu}$  based on  $\gamma(\text{Lu K x ray})$  coin and on prior assignment of  $\gamma$ -rays in  $^{169}\text{Lu}$  and  $^{171}\text{Lu}$ .

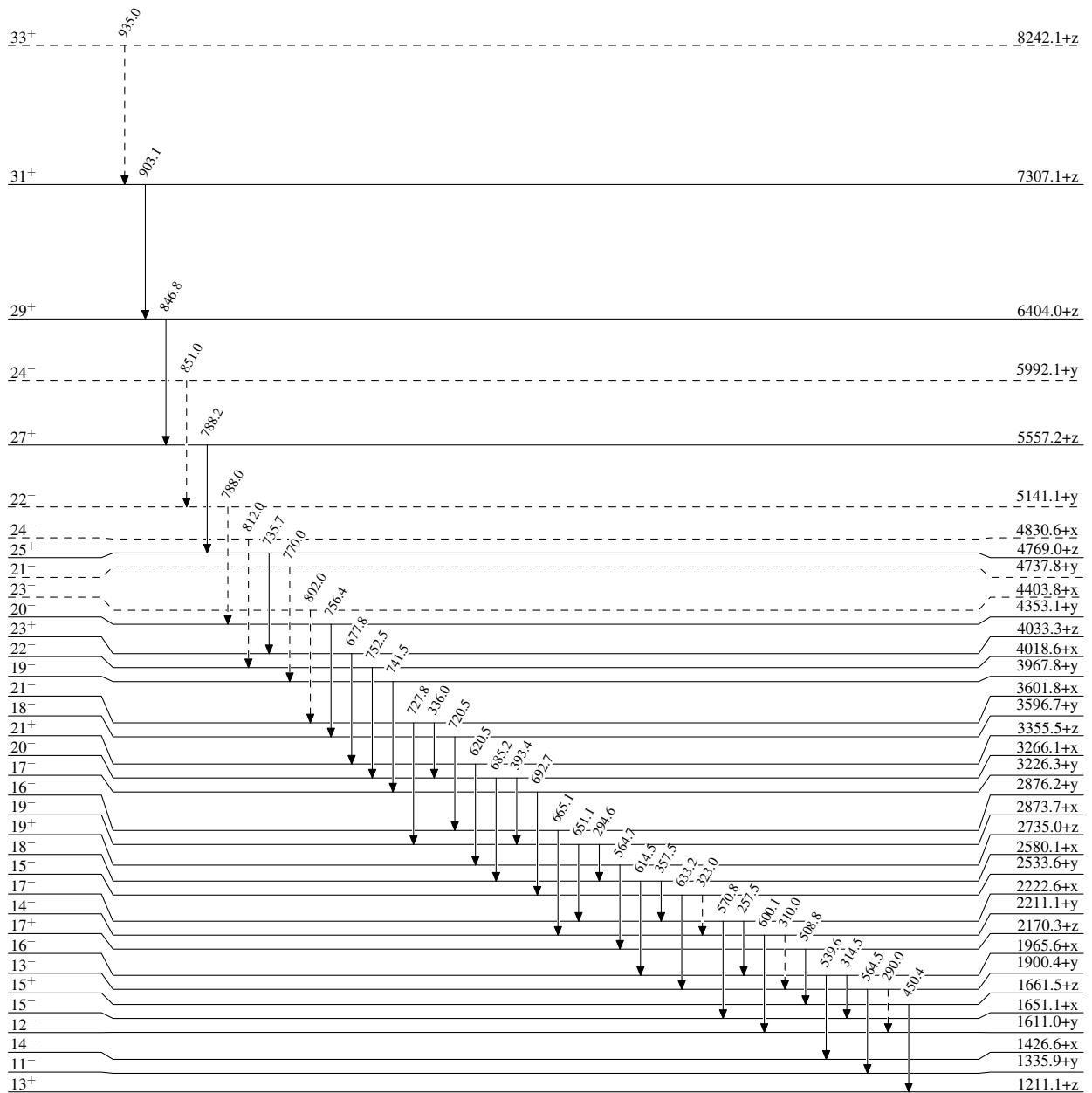
‡ Placement of transition in the level scheme is uncertain.

$^{160}\text{Gd}(^{14}\text{N},4n\gamma)$  1997Ka30

Legend

Level Scheme

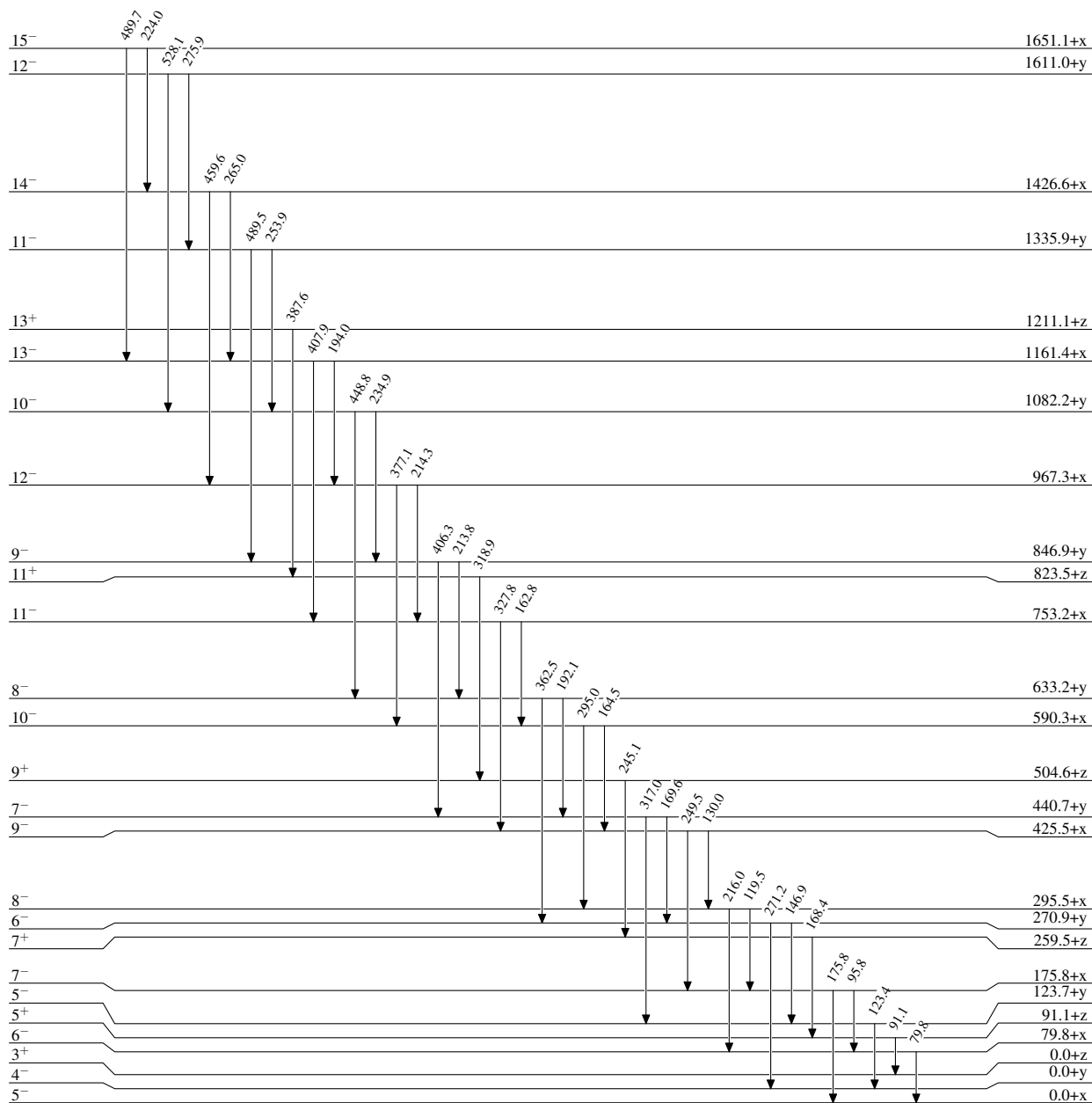
-----►  $\gamma$  Decay (Uncertain)

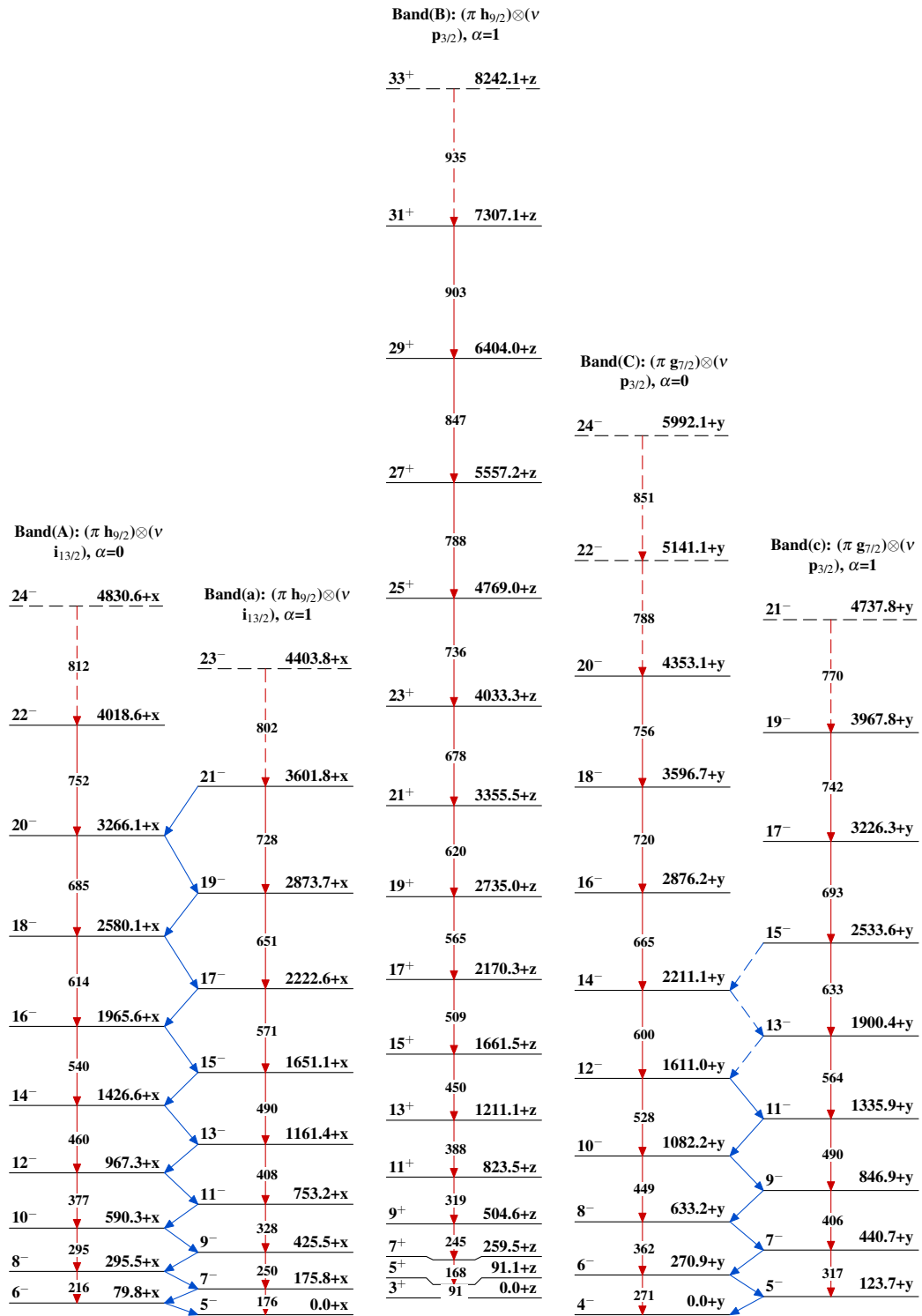


$^{170}_{71}\text{Lu}_{99}$

$^{160}\text{Gd}(^{14}\text{N},4n\gamma)$  1997Ka30

## Level Scheme (continued)

 $^{170}_{71}\text{Lu}_{99}$

$^{160}\text{Gd}(^{14}\text{N},4\text{n}\gamma) \quad 1997\text{Ka30}$  $^{170}_{71}\text{Lu}_{99}$